

L'astrofisica nucleare: l'esperimento LUNA

G. Imbriani

gianluca.imbriani@unina.it

Breve storia dell'astrofisica-nucleare

- **1920:** A.S. Eddington; Rep. Brit. Ass. Adv. Sci.; (Cardiff):
"What is possible in the Cavendish Laboratory cannot be too difficult in the Sun".
- **1948:** Gamow; Physical Review: *tutti gli elementi prodotti durante la nucleosintesi primordiale.*
- **1957:** E.M. Burbidge, G.R. Burbidge, W.A. Fowler and F. Hoyle;
Review of Modern Physics: *"Synthesis of the Elements in Stars".*
- **1964:** R. Davis Jr; Physical Review Letters:
Rivelazione di neutrini solari nella miniera di Homestake.

• oggi è noto che tutti gli eventi nell'Universo hanno lasciato dietro di loro una traccia nucleare.

Lo scopo dell'Astrofisica-nucleare è la comprensione dei processi nucleari che avvengono in ambiente astrofisico:

- ✓ Big Bang nucleosintesi;
- ✓ Nucleosintesi Galattica;
- ✓ Nucleosintesi stellare e generazione di energia.

Luminosità versus Temperatura

Stelle come Corpo Nero

$$L = 4\pi R^2 \sigma T_{\text{eff}}^4$$

Principali proprietà della sequenza principale

$$M_{\odot} = 1.989 \times 10^{33} \text{ g}$$

$$M \sim 0.5 - 40 M_{\odot}$$

$$R_{\odot} = 6.9599 \times 10^{10} \text{ cm}$$

$$R \sim 0.8 - 13 R_{\odot}$$

$$L_{\odot} = 3.826 \times 10^{33} \text{ ergs s}$$

$$L \sim 0.08 - 4 \times 10^5 L_{\odot}$$

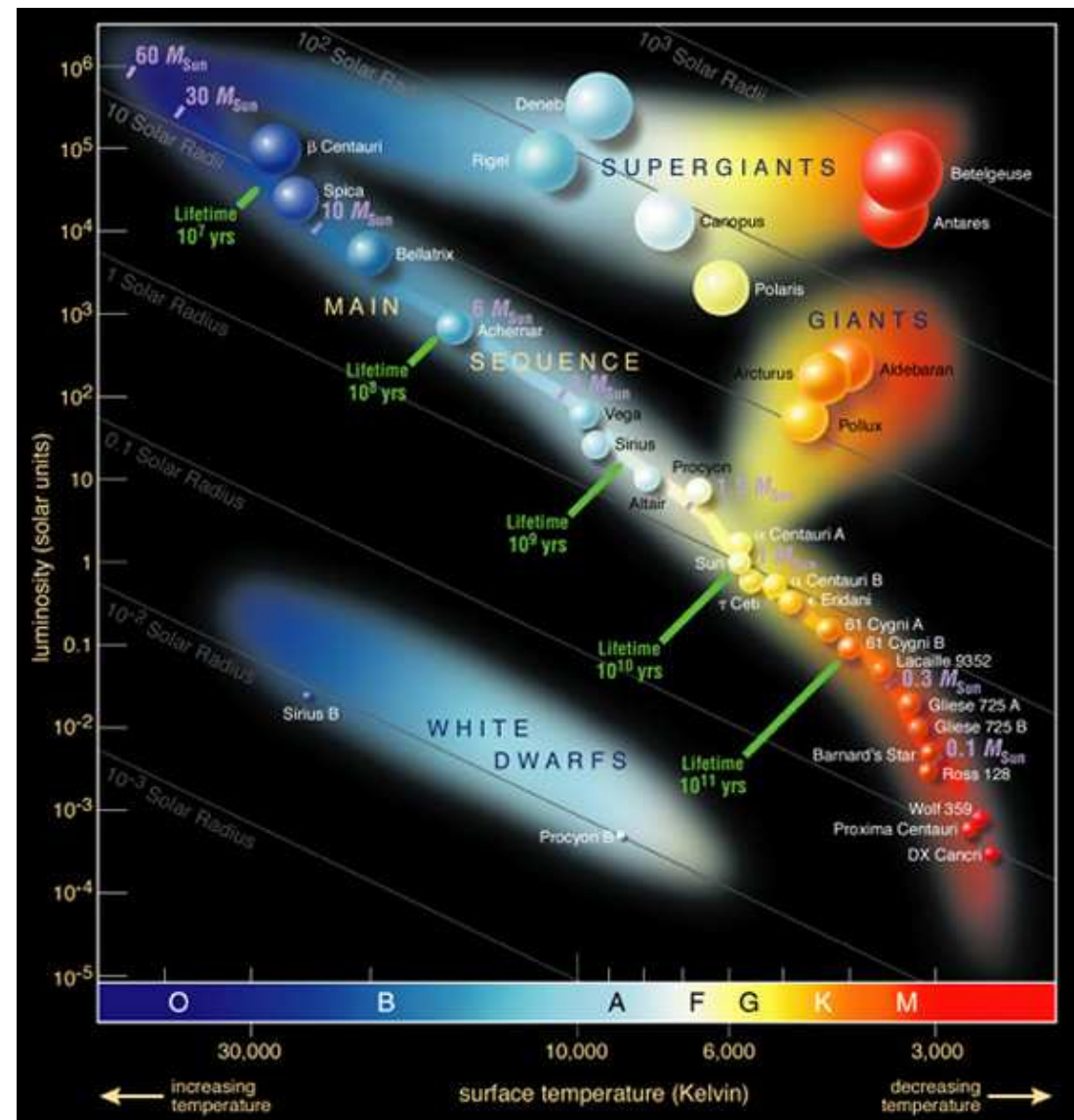
$$T_{\odot} = 5800 \text{ K}$$

$$T \sim 3500 - 40000 \text{ K}$$

~ 95% delle stelle nella **MAIN SEQUENCE**

⇒ massima probabilità di osservazione

Hertzsprung-Russel (HR) Diagram



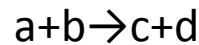
Quanto tempo vivono le stelle

Possibili tempi scali per il Sole

1. tempo di caduta libera $t_{ff} = \left(\frac{R^3}{GM} \right)^{1/2} \sim 26 \text{ min}$
2. tempo scala di Kelvin-Helmotz $t_K = \frac{E_T}{L_\odot} \sim 4.4 \cdot 10^7 \text{ y}$ tempo scala biologico $> 10^8 \text{ y}$
radioattività delle rocce $\sim 10^9 \text{ y}$
 $E_G = -\frac{GM^2}{R} \approx 2E_T = \frac{3k}{2m} TM \approx 4 \cdot 10^{48} \text{ erg}$
3. tempo scala di Einstein o nucleare $t_E = \frac{0.008 * Mc^2}{L} \sim 1.1 \cdot 10^{11} \text{ y}$

LA FISICA NUCLEARE È CRUCIALE PER COMPRENDERE L'EVOLUZIONE STELLARE

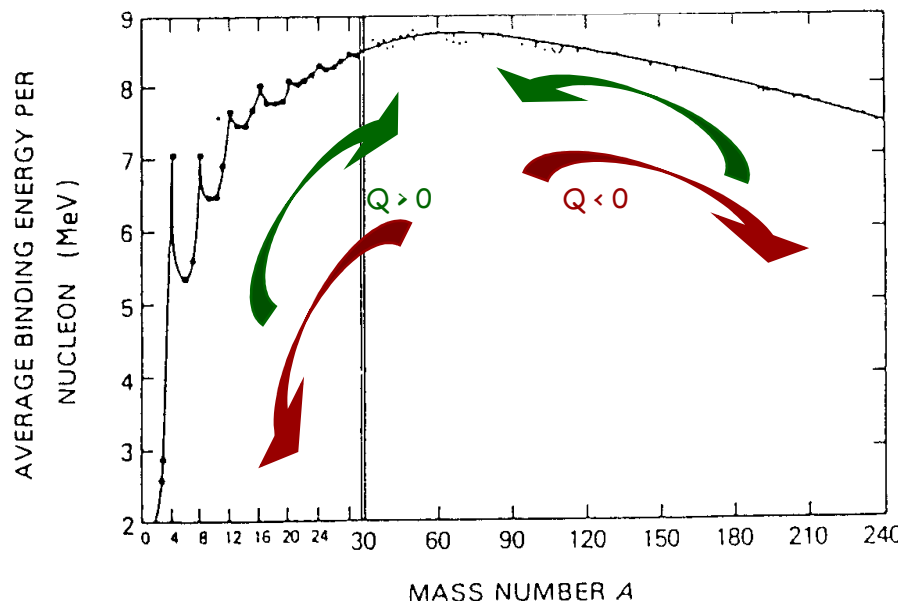
Q-valore di una reazione



$$Q = (M_a + M_b - M_c - M_d)c^2$$

>0 esoenergetica
 <0 endoenergetica

Energia di legame al variare di A

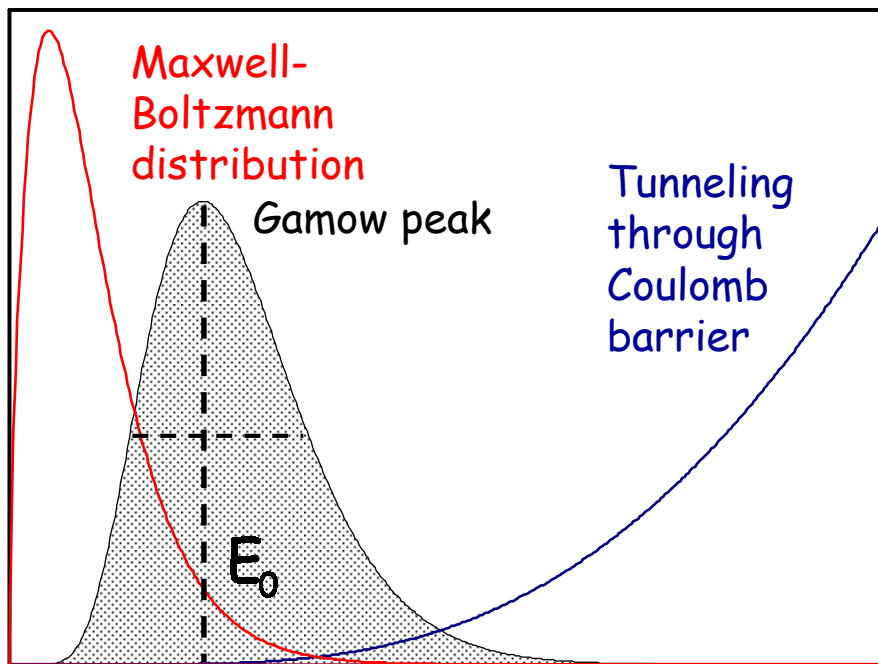
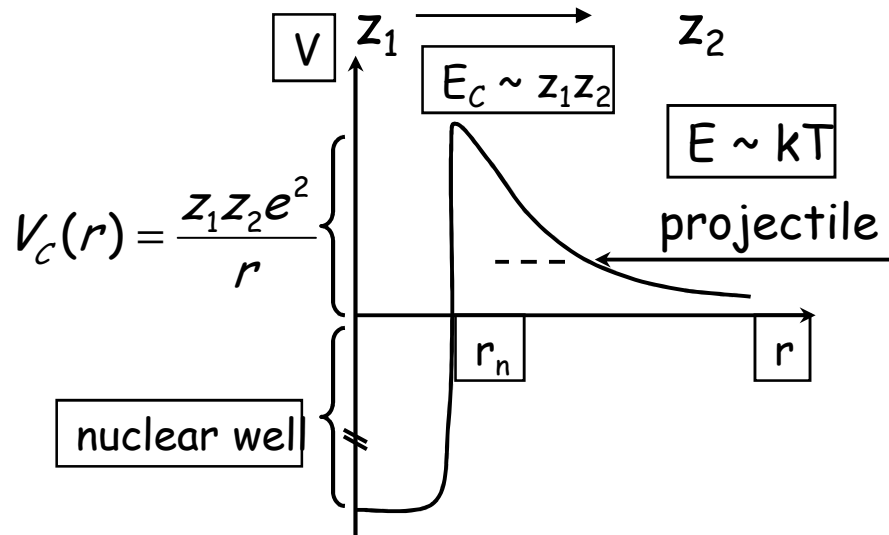


processi nucleari spontanei: $Q > 0$

fusione fino al Fe

fissione oltre il Fe

Le reazioni nucleari nelle stelle



Esempio $z_1=p$ and $z_2=p$ (nel Sole)

$$T \sim 15 \times 10^6 \text{ K} \Rightarrow E = kT \sim 1 \text{ keV}$$

$$E_c = 550 \text{ keV}$$

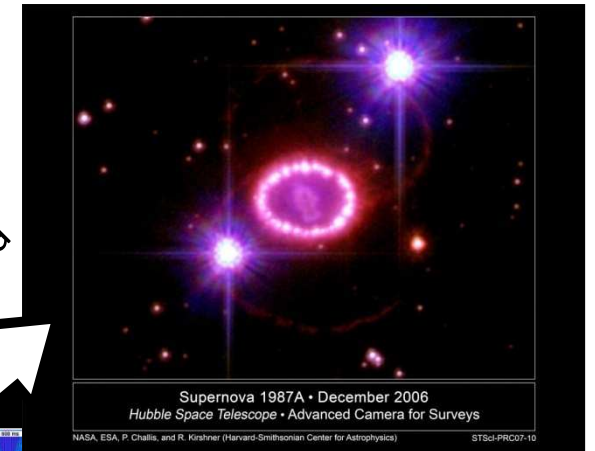
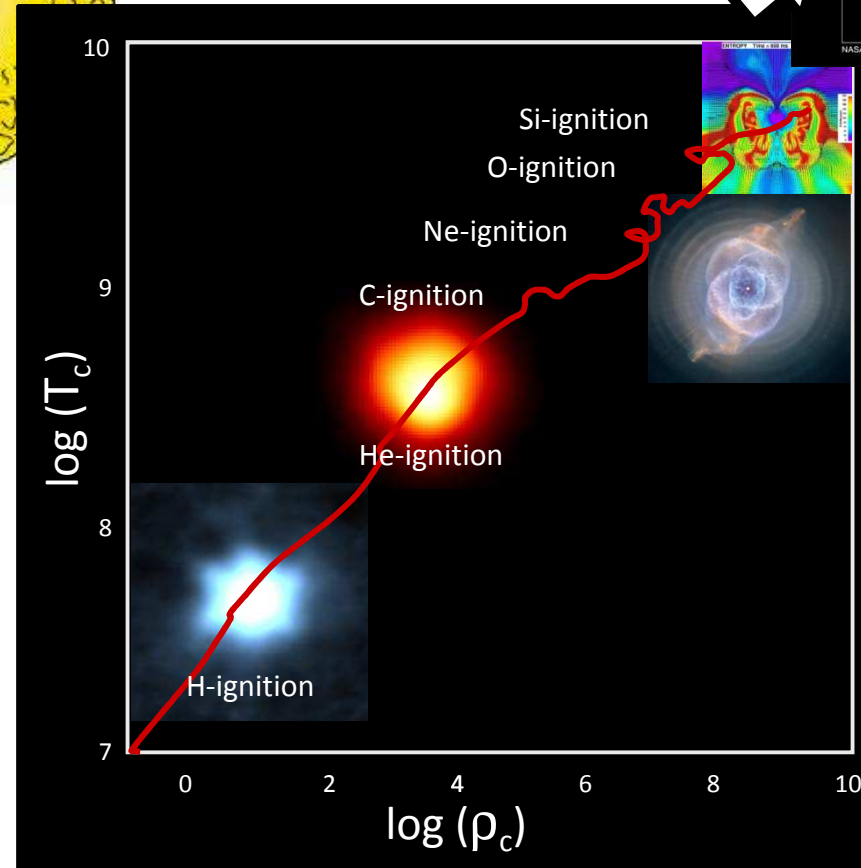
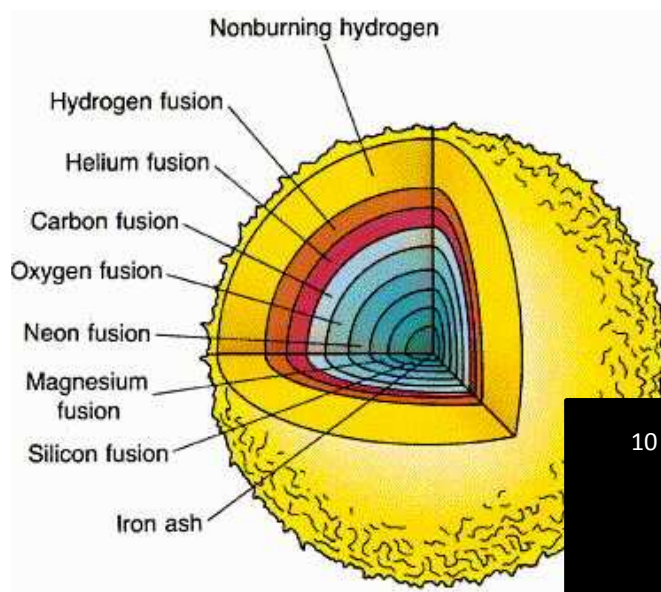
Durante le combustioni quiescenti:

$$kT \ll E_c$$

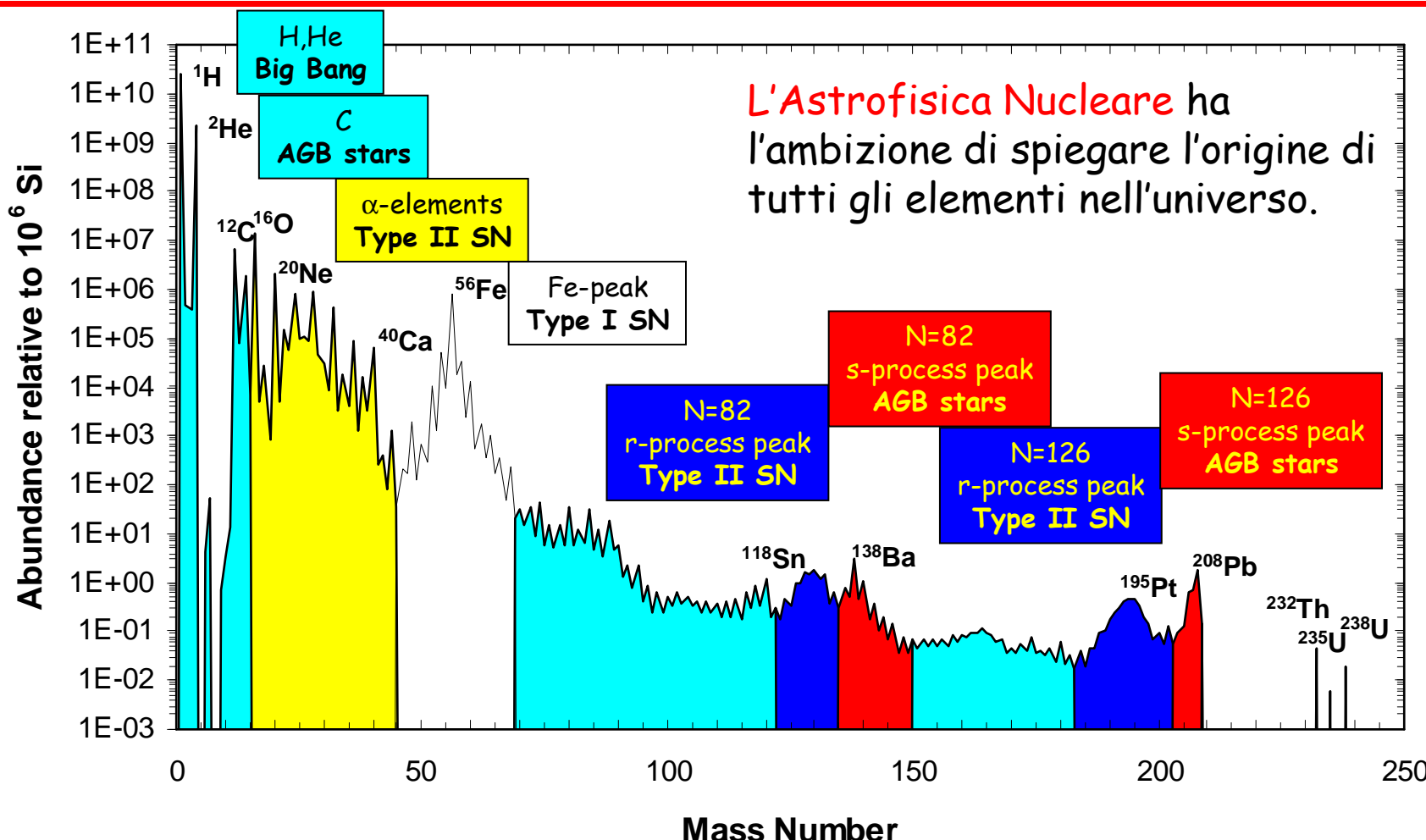
Le reazione avvengono per TUNNEL EFFECT

reaction	Coulomb barrier (MeV)	E_0 (keV)
$p + p$	0.55	5.9
$\alpha + {}^{12}\text{C}$	3.43	56
${}^{16}\text{O} + {}^{16}\text{O}$	14.07	237

Vita e "morte" di una stella



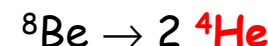
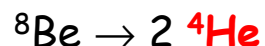
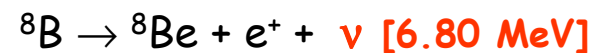
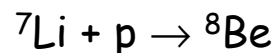
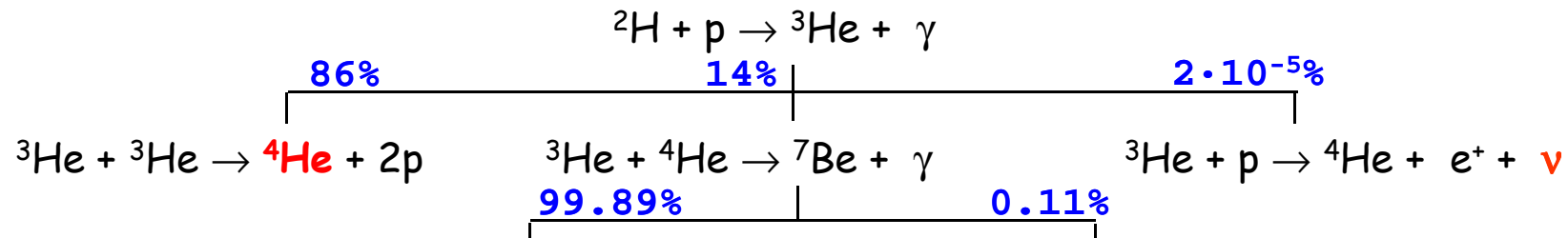
L'origine degli elementi



Ogni molecola del nostro corpo contiene materiale che è stato esposto alle enormi temperature e pressioni presenti nel centro di una stella; dove il **ferro** presente nel nostro sangue, l'**ossigeno** che noi respiriamo, il **carbonio** e l'azoto nei nostri tessuti e il **calcio** nelle nostra ossa si sono originati.

H burning

pp chain



CHAIN I
 $Q_{\text{eff}} = 26.20 \text{ MeV}$

CHAIN II
 $Q_{\text{eff}} = 25.66 \text{ MeV}$

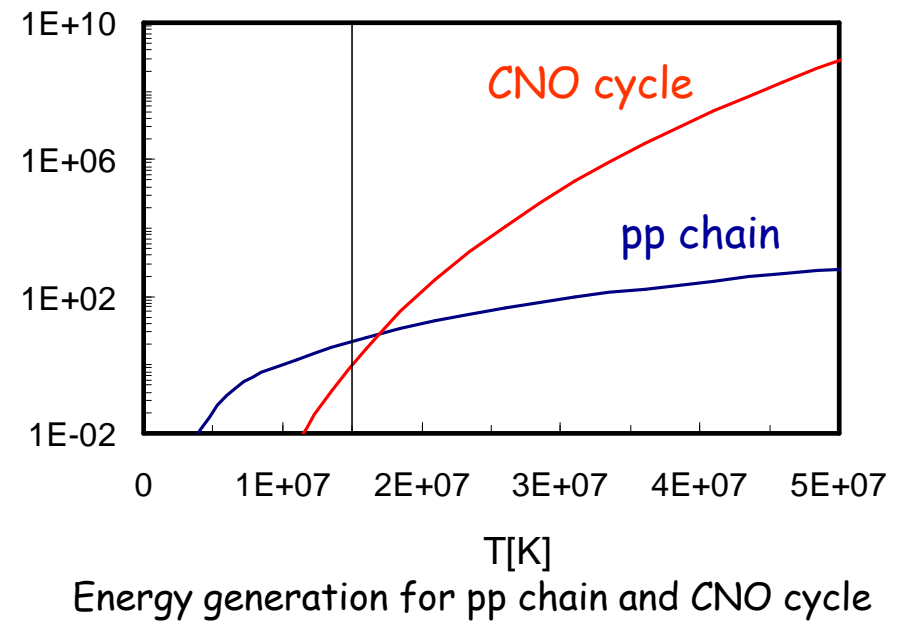
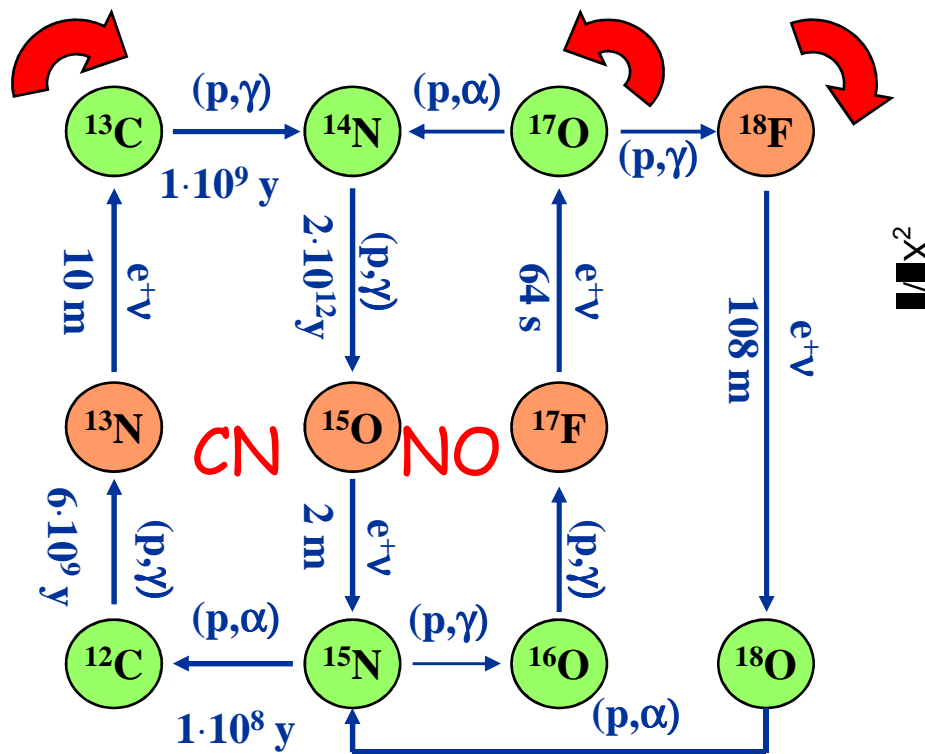
CHAIN III
 $Q_{\text{eff}} = 19.67 \text{ MeV}$

CHAIN IV
 $Q_{\text{eff}} = 16.84 \text{ MeV}$



H burning

CNO CYCLE

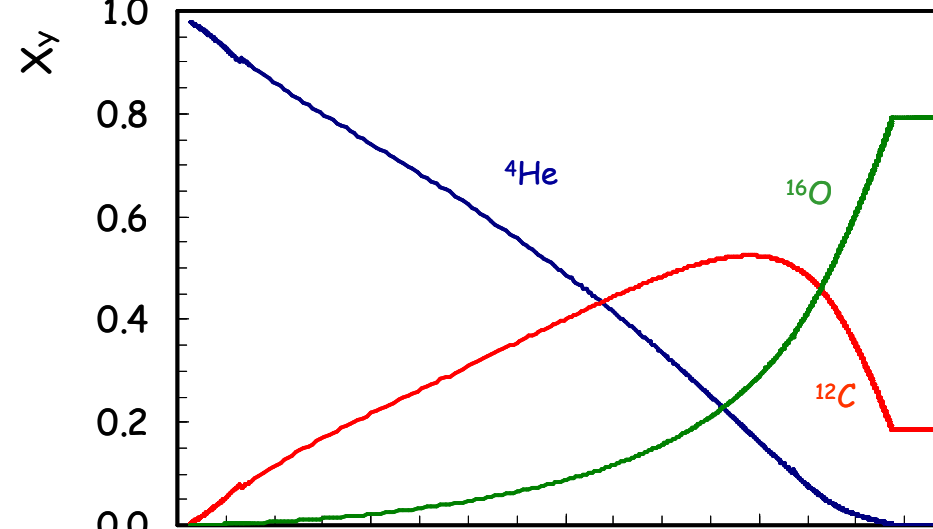


CN	NO
$Q_{\text{eff}} = 26.02 \text{ MeV}$	$Q_{\text{eff}} = 25.73 \text{ MeV}$

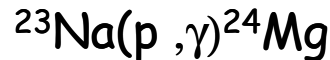
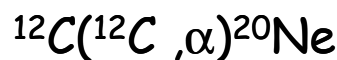


Le altre combustioni

$$10^8 < T_C < 3.5 \cdot 10^8$$



t [yr]



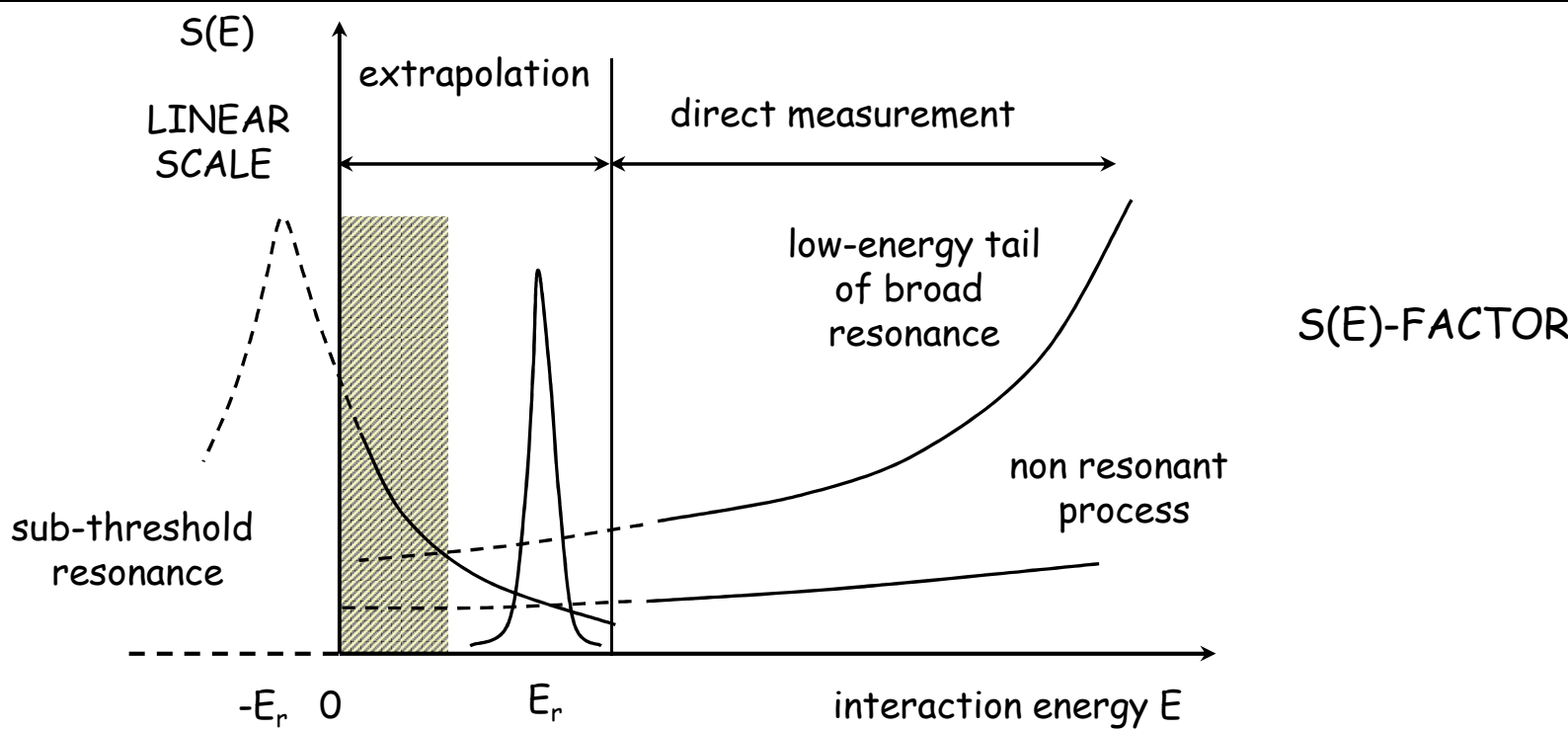
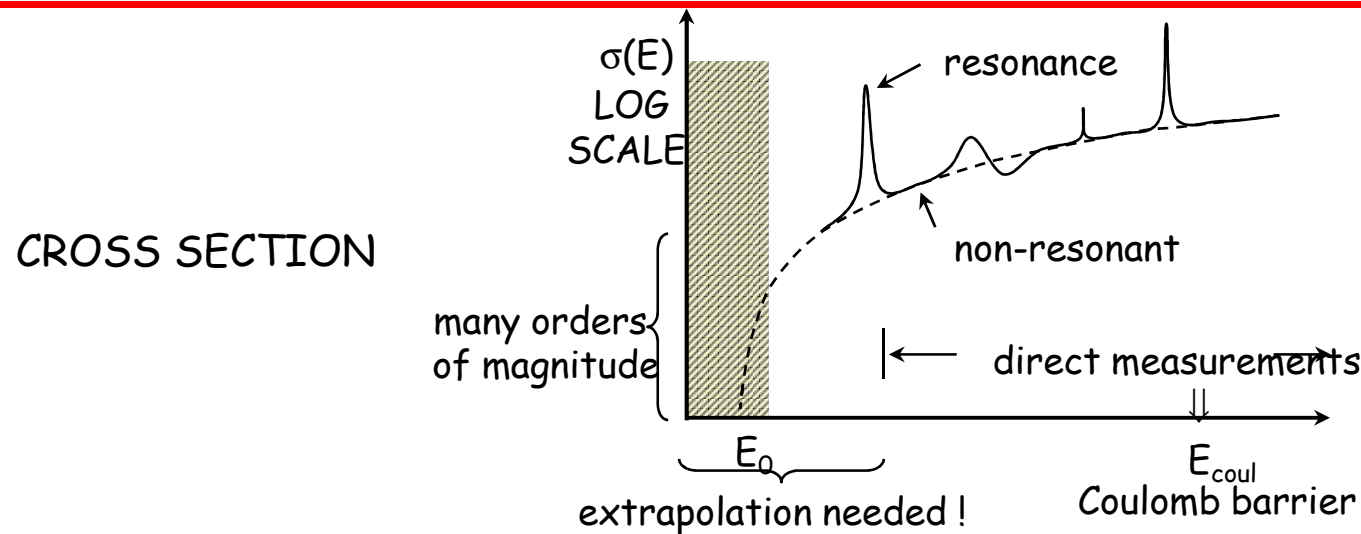
C-burning



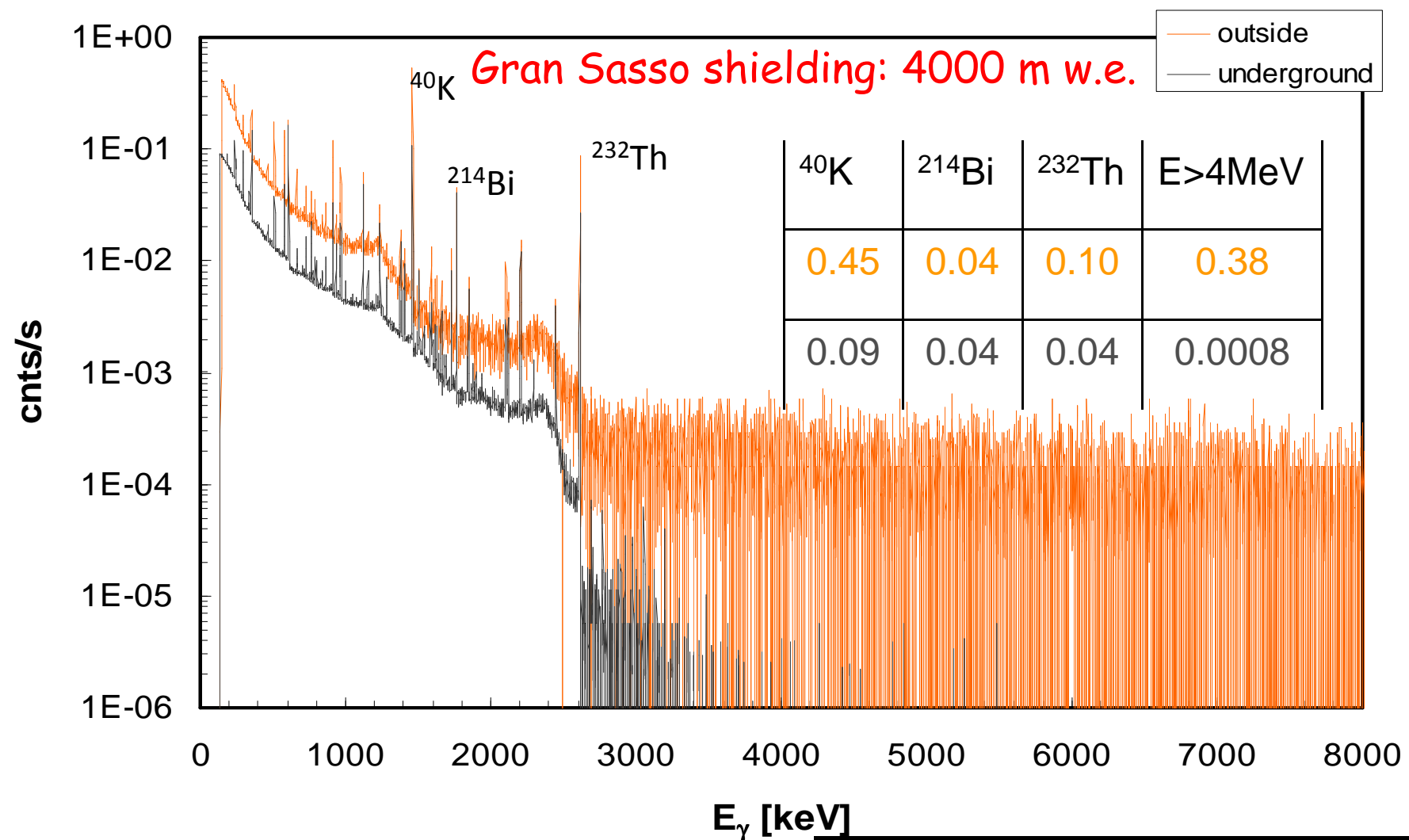
Ne-burning

Problematiche sperimentali

Il problema dell'estrapolazione alle basse energie

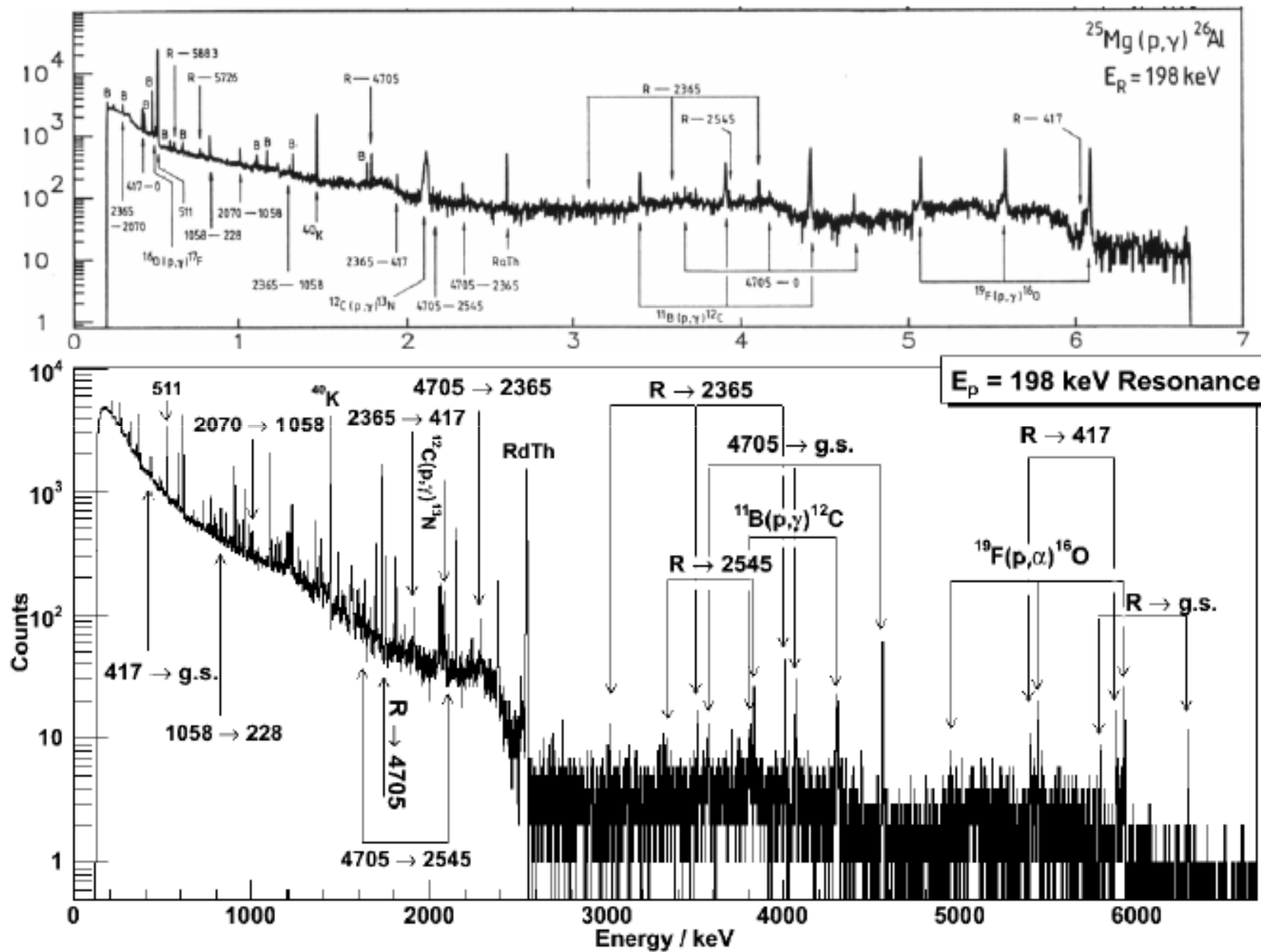


Perché andare sottoterra

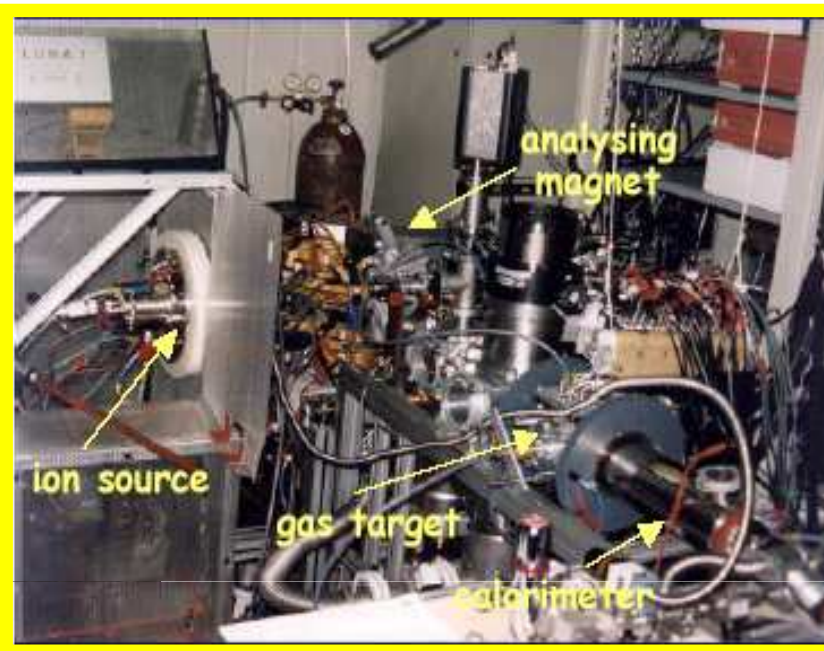


Radiation	LNGS/out
muons	10^{-6}
neutrons	10^{-3}

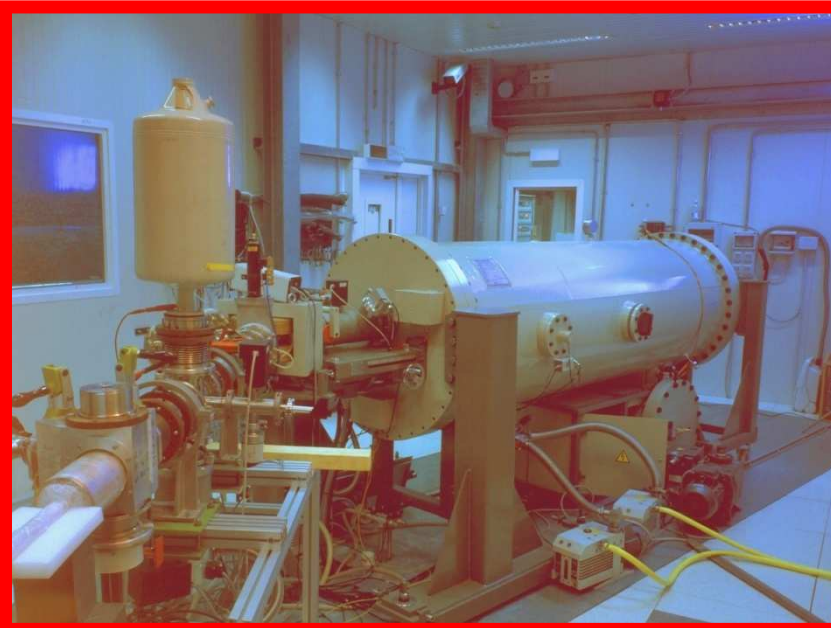
Un esempio.....



LUNA 1997-2009 - experimental set-up



Voltage Range :
1 - 50 kV
Output Current:
1 mA
Beam energy spread:
20 eV

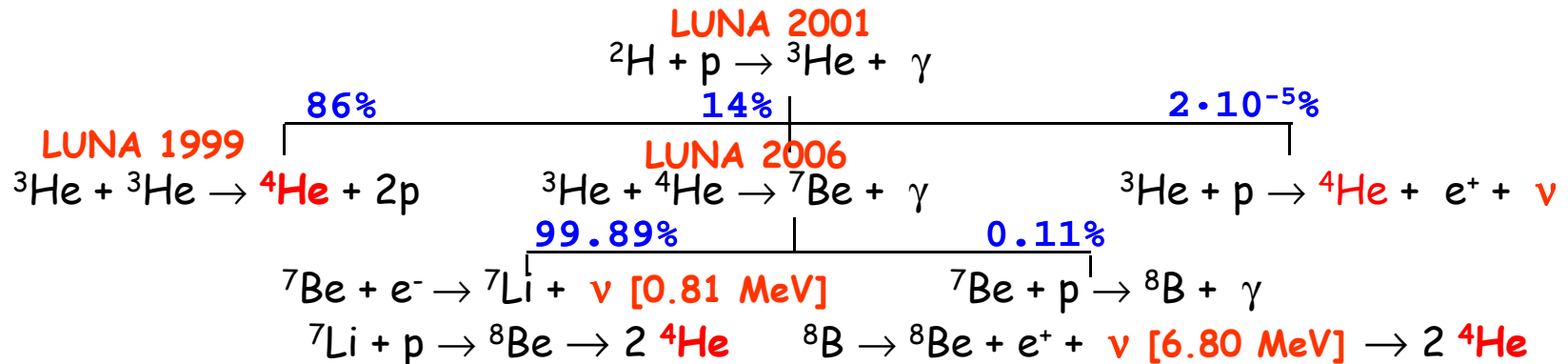


Voltage Range :
50 - 400 kV
Output Current:
500 μ A
Beam energy spread:
70 eV

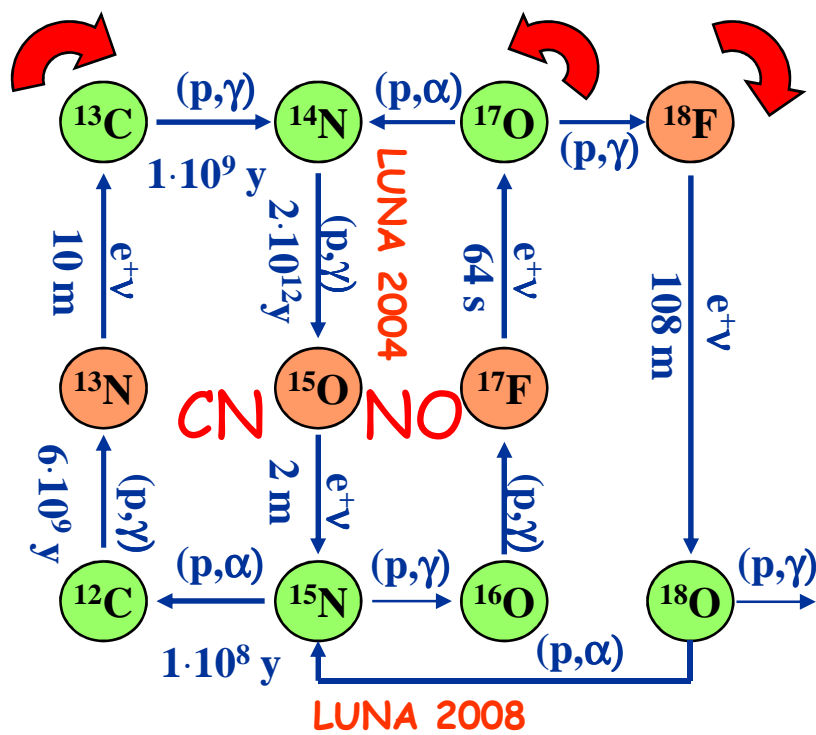
LUNA 1997-2009 - results



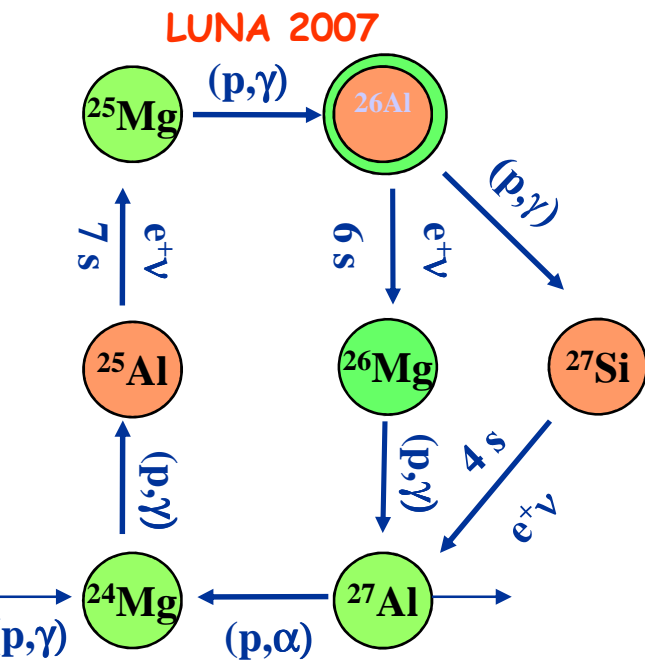
pp chain



CNO CYCLE



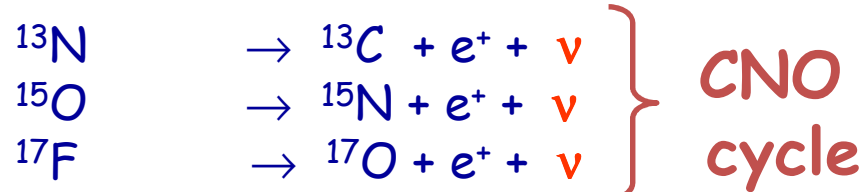
MgAl CYCLE



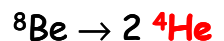
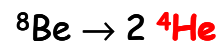
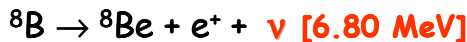
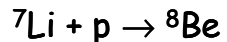
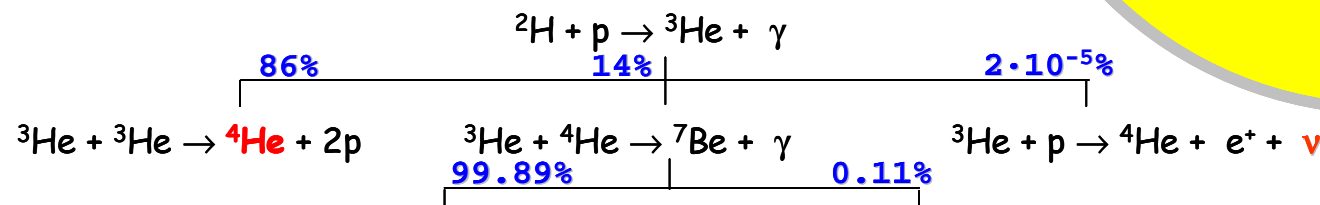
LUNA

Solar neutrino

Where Neutrinos are generated



pp-chain

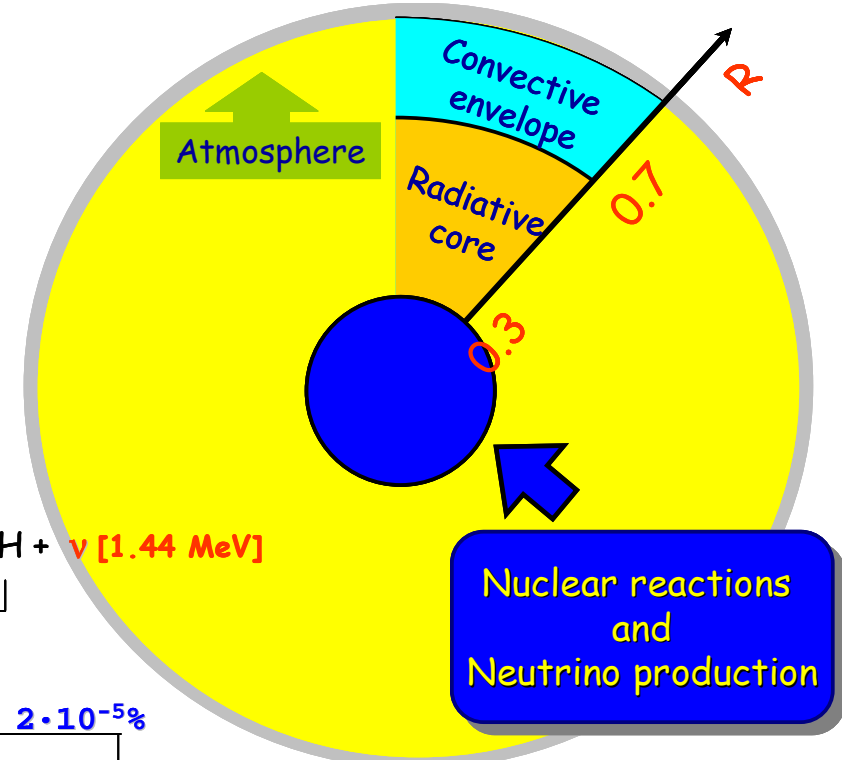


CHAIN I
 $\Omega_{\text{eff}} = 26.20 \text{ MeV}$

CHAIN II
 $\Omega_{\text{eff}} = 25.66 \text{ MeV}$

CHAIN III
 $\Omega_{\text{eff}} = 19.67 \text{ MeV}$

CHAIN IV
 $\Omega_{\text{eff}} = 16.84 \text{ MeV}$



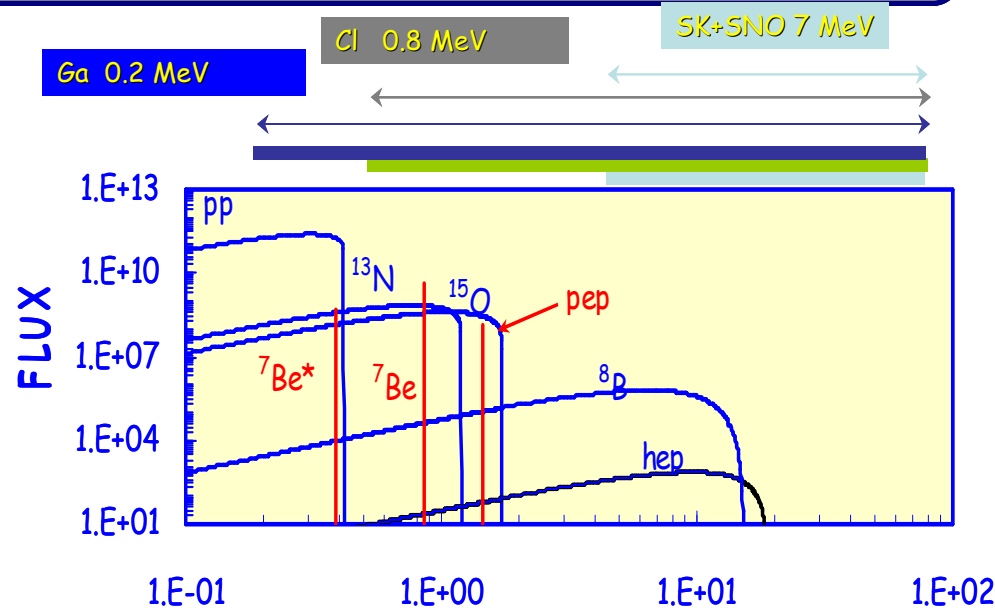
The solar neutrino problem

1. MISSING NEUTRINO:
in Ga experiments
 (75 ± 8) SNU measured
vs (129 ± 3) SNU expected

2. ${}^7\text{Be}/{}^8\text{B}$ anomaly:
incompatibility
Kamiokande/Homestake
experiments

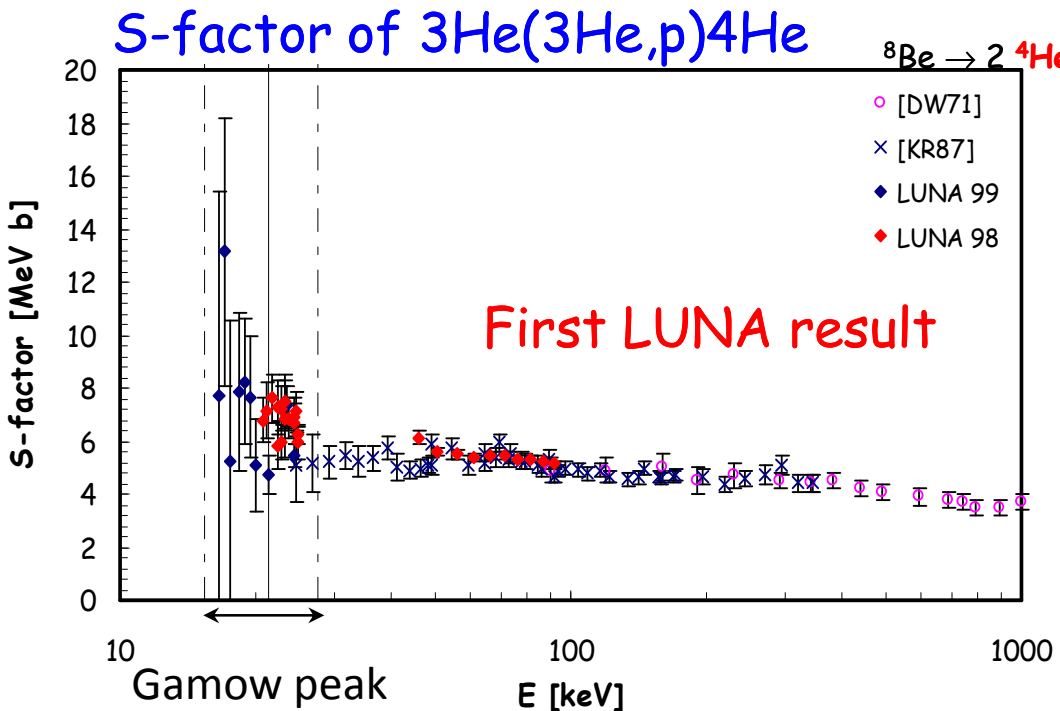
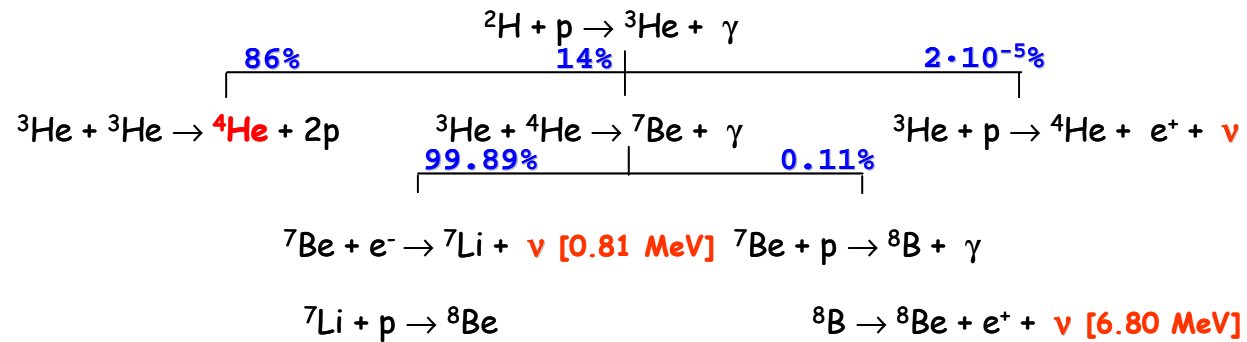
3. MISSING ${}^7\text{Be}$ NEUTRINO:
Using data from Ga and
SK experiments
 $73_{\text{pp}} + 5_{\text{8B}} > 75$

The solution of solar neutrino problem is
not in the uncertainty of SSM



Situation before SNO results

Possible solution before SNO and Kamland



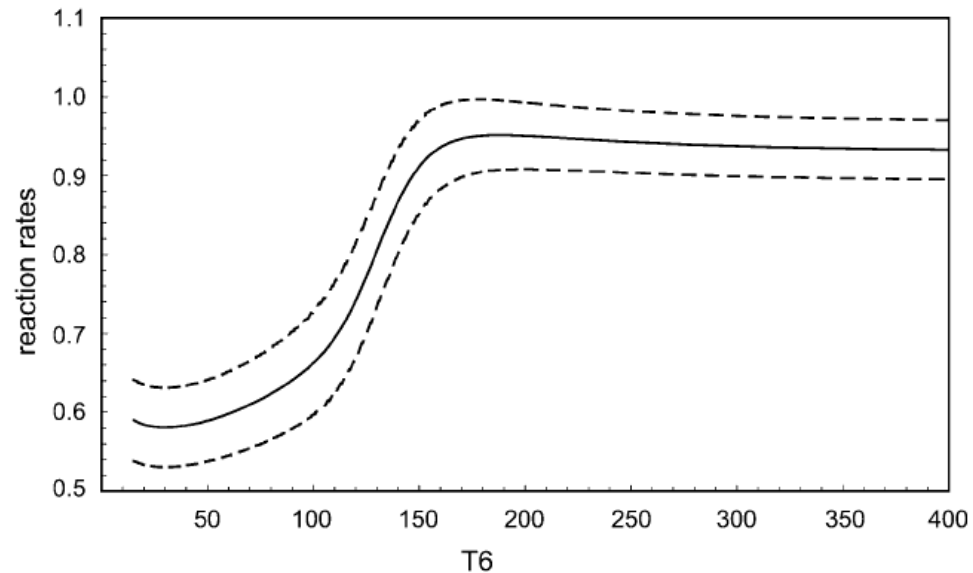
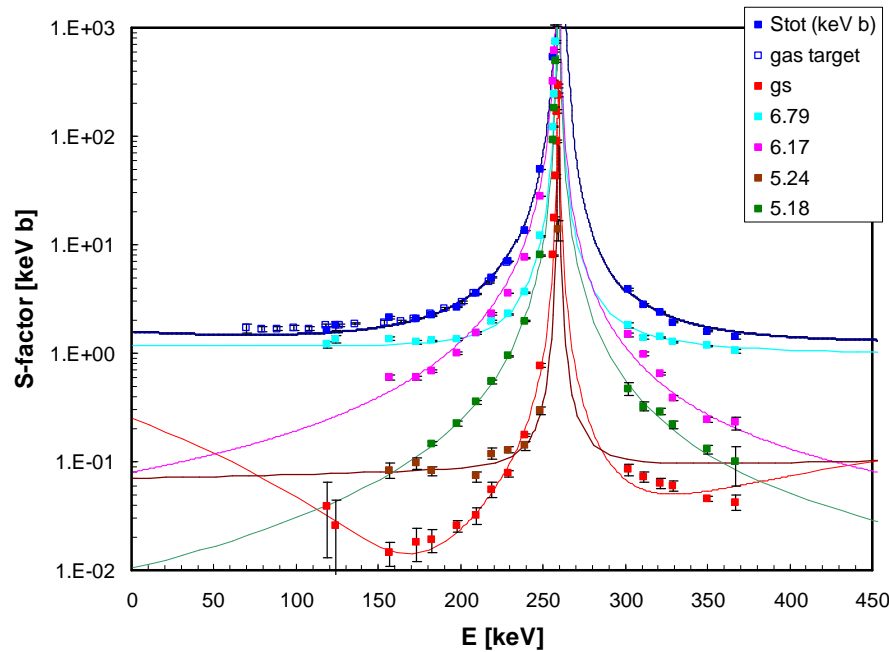
Cross section of ${}^3He({}^3He,2p){}^4He$ measured at solar energies
Phys. Rev. C 57(1998)2700

First measurement of the ${}^3He({}^3He,2p){}^4He$ cross section down to the lower edge of the solar Gamow peak *Phys. Rev. Lett.* 82(1999)5205

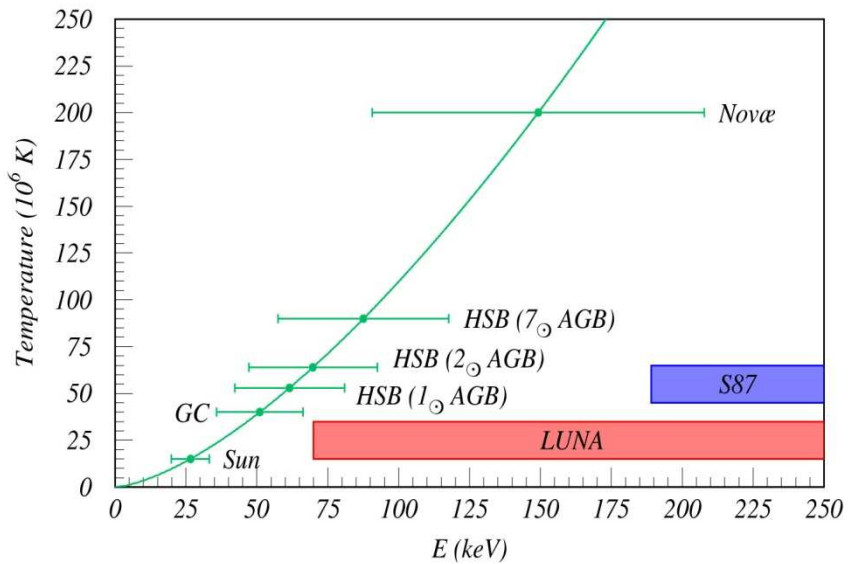
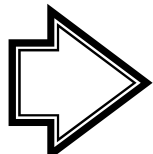


Age of Globular Clusters

Risultati della $^{14}\text{N}(\text{p},\gamma)^{15}\text{O}$

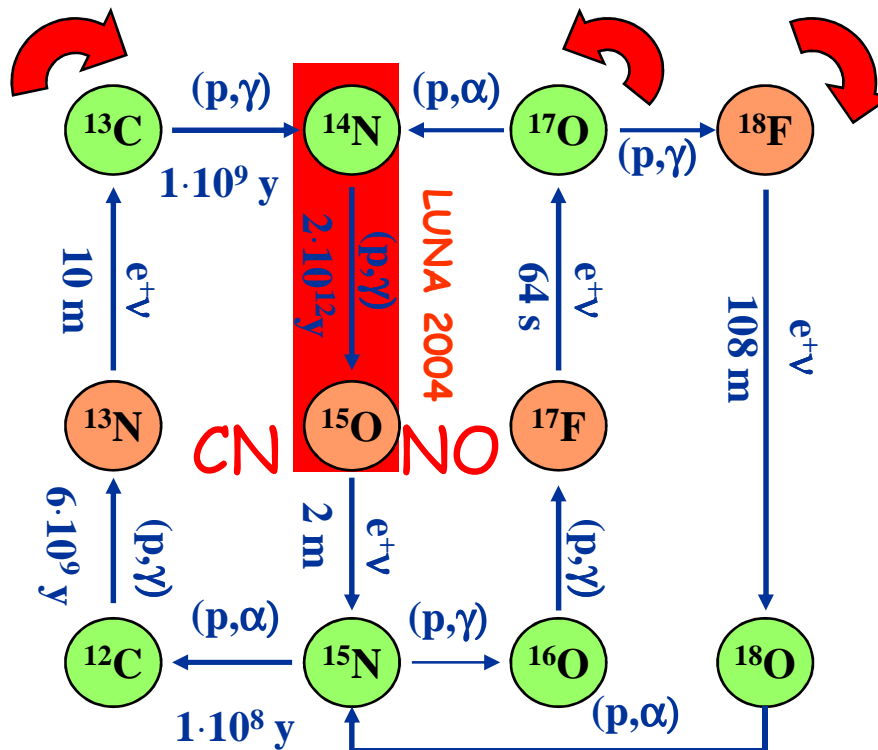


Astrophysical energy information reached directly by LUNA experiment

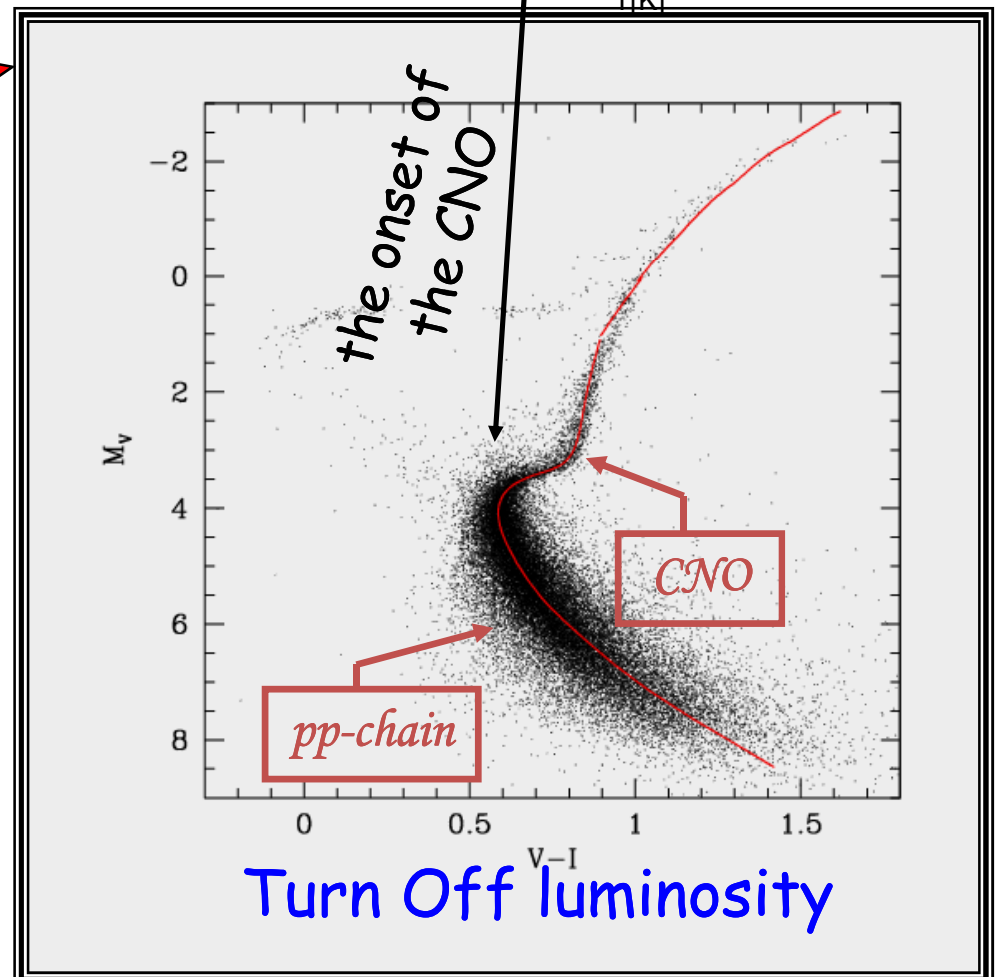
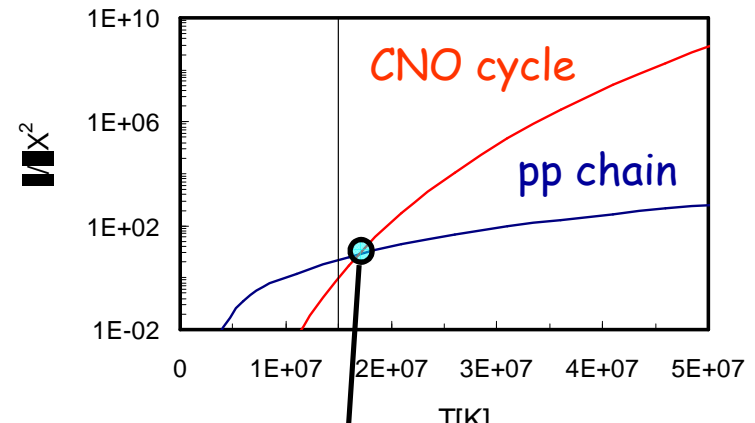


The Age of Globular Clusters

CNO CYCLE

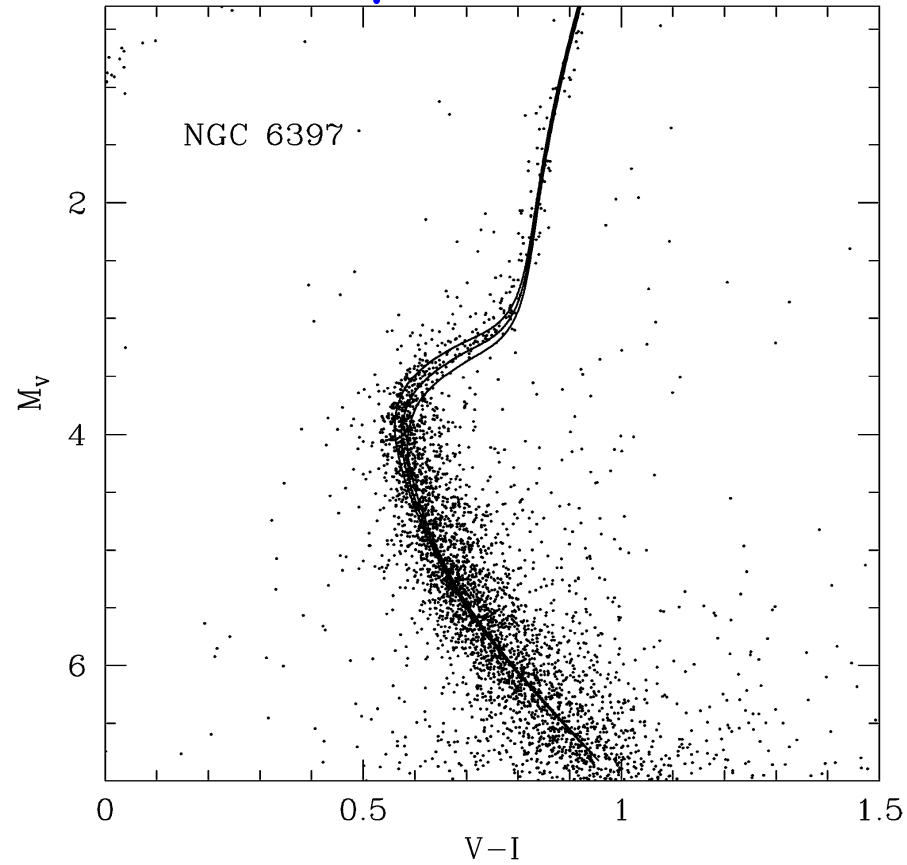
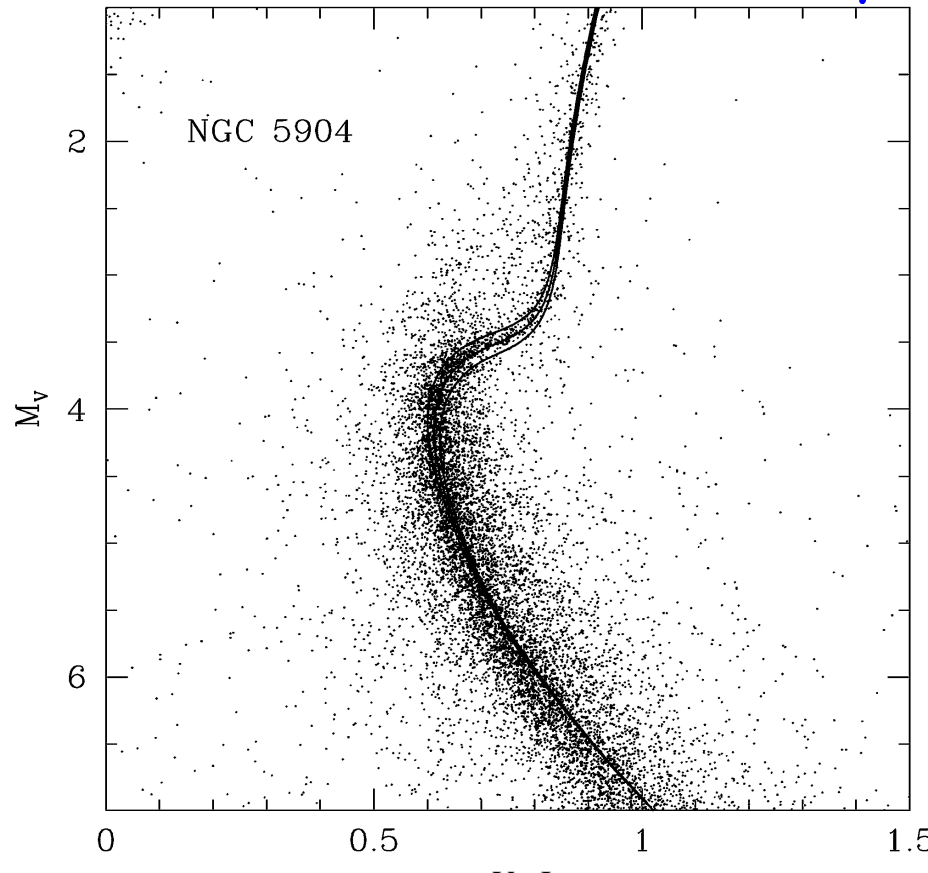


CN	NO
$Q_{\text{eff}} = 26.02 \text{ MeV}$	$Q_{\text{eff}} = 25.73 \text{ MeV}$



Isochrones for Globular Clusters after LUNA

The age of the oldest Globular Clusters should be increased by about 0.7-1 Gyr

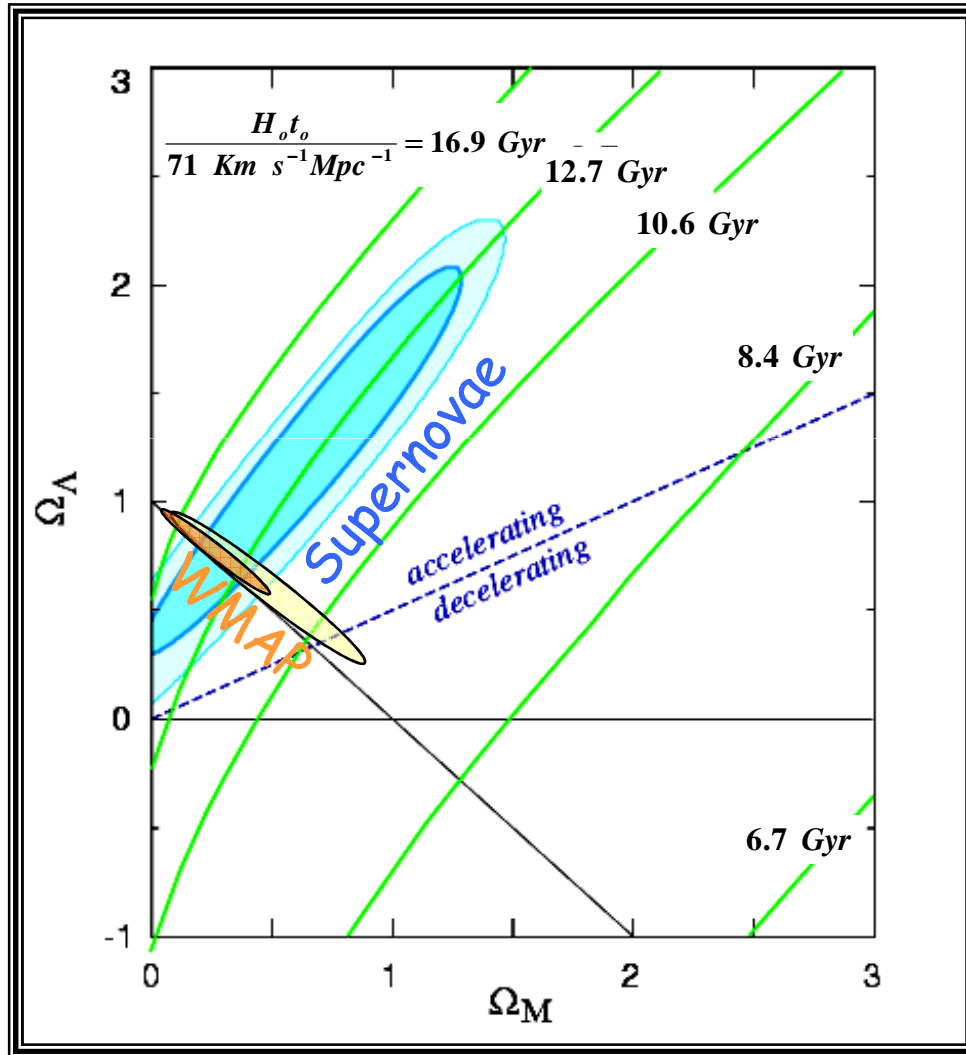


The lower limit to the Age of the Universe, using the Gratton et al, 2003 result, becomes 14 ± 1 Gyr.

Imbriani et al., Astronomy & Astrophysics, 420, 2004

Experimental cosmology

Cosmic Concordance



$$\begin{aligned}\Omega_m &\sim 0.3 \\ \Omega_\lambda &\sim 0.7\end{aligned}$$

$$H_0 = 70 \text{ km/s/Mpc}$$

Age of the Universe

$$13.7 \pm 0.2 \text{ Gyr}$$

Spergel et al. 2003

WMAP + LCDM model +
other measures (SNe Ia,
Lyman-a forest.....)